

苏联科学院

致第四届国际土力学
及基础工程会议
论文集



地质出版社

苏联科学院

技术科学学部

土力学委员会

致第四届国际土力学
及基础工程会议

论文集

地质出版社

1959·北京

АКАДЕМИЯ НАУК СССР
МАТЕРИАЛЫ
К IV. МЕЖДУНАРОДНОМУ
КОНГРЕССУ
ПО МЕХАНИКЕ ГРУНТОВ
И ФУНДАМЕНТОСТРОЕНИЮ
ИЗДАТЕЛЬСТВО
АКАДЕМИИ НАУК СССР
Москва 1957

本論文集包括了34位苏联学者的16篇报告。这些报告被第四届国际土力学及基础工程會議的組織委員会发表在英文版的“第四届會議論文集”的第一卷和第二卷里。

这些报告扼要地說明了最近几年以来苏联学者在土力学方面的主要成就。它們共分为以下6类：I—土的物理、力学性的基本規律及土的性質的研究(5篇报告)；II—野外試驗和采取土样的最新方法和技术(1篇报告)；III—实用土力学問題—基础工程(6篇报告)；IV—道路、机场跑道和铁路支線工程(1篇报告)；V—建筑物和隧道上的土压力(1篇报告)；VI—土壙、土堤的建造和露天基坑的开挖(2篇报告)。

論文集的第二部分是土力学方面的6篇“报告”。它們的摘要打算送給第四届土力学會議的組織委員会，以便将其刊載于“第四届會議論文集”的第三本附卷里。

本論文集我国土力学、地基和基础方面的工程技术人员、研究人員及有关院校师生們有很大的参考价值。

本書由龔宜、黃邦光同志翻譯，卞富宗同志校訂。

苏联科学院
致第四屆国际土力学及基礎工程会议論文集

著者 H. A. 崔 托 維 奇 等

譯者 龔 宜、黃 邦 光

出版者 地 質 出 版 社

北京宣武門外永光寺西街3号

北京市審刊出版委員會許可證出字第060號

发行者 新华書店 科技發行所

經售者 各 地 新 华 書 店

印刷者 地 質 出 版 社 印 刷 厂

北京安定門外六鋪炕40号

印数(京) 1--3500册 1959年8月北京第1版

开本 787×1092— $\frac{1}{25}$ 1959年8月第1次印刷

字数 240 000 印张10— $\frac{16}{25}$

定价(10) 1.40 元

目 录

原 序 苏联科学院通讯院士 H.A. 崔托維奇 (5)

第 一 部 分

刊載于“第四届国际土力学及
基础工程會議論文集”上的報告

第一类 土的性質及其特征

- 粘性土的彈性变形和結構变形.....
..... Н. Я. 捷尼索夫和 В. Ф. 列里托夫 (11)
- 冻土力学的基本規律..... Н. А. 崔托維奇 (22)
- 冻土及紧密粘土的流变过程.....
..... С. С. 万洛夫和 А. М. 斯基比茨基 (32)
- 粘土的持久强度和斜坡的深层蠕动.....
..... М. Н. 戈尔什傑恩和 Г. И. 捷尔-斯捷帕良 (45)
- 粘性土的电滲過程和开挖基坑时水位的降低...
..... Г. М. 洛米泽、А. В. 涅图希爾和 Б. А. 尔查尼崔恩 (54)

第二类 野外試驗和采取土样的方法

- 土的密度和含水量的野外研究.....
..... В. А. 杜兰捷、Я. Л. 柯剛、В. И. 費爾郎斯基和 В. И. 羅薩利 (68)

第三类 基础工程

- 建筑物的最大許可不均匀沉陷.....
..... Д. Е. 波利申和 Р. А. 托卡尔 (81)
- 高建筑物的实測沉陷及其与計算沉陷的比較...
..... К. Е. 叶戈罗夫、Е. П. 波波夫和 П. Г. 庫茲明 (90)
- 水工建筑物的实际沉陷觀測結果 ... А. А. 尼奇波羅維奇 (104)
- 建筑物地基中大孔性黃土类土的机械压実法...
..... Ю. М. 阿別列夫 (115)

- 黃土类土的砂化 Р. В. 阿斯卡郎諾夫 (125)
 用振动法下沉板桩、管、柱并进行鑽孔鑽进... Д. Д. 巴尔康 (134)
 深基础下砂土地基的强度 В. А. 雅羅謝科和 В. Г. 別列贊采夫 (147)
- 第四类 道路及机场跑道**
- 柔性路面的强度理論 Н. Н. 伊凡諾夫、
 В. Ф. 巴布科夫、А. К. 毕魯爾和 Н. А. 普查科夫 (157)
- 第五类 建筑物及隧道上的土压力**
- 关于土压力的某些問題 В. В. 索科洛夫斯基 (170)
- 第六类 土坝、土堤及基坑开挖**
- 水中抛填粘性土建造土工建筑物的方法
 С. А. 罗查、Д. М. 塔尔塔科夫斯基、
 В. К. 列米茲尼可夫和 П. Д. 罗巴索夫 (180)
 淹沒的砂土地基和建筑物的地震稳定性問題... Н. Н. 馬斯洛夫 (191).
 考慮到蠕动的饱和土的單向压实問題... В. А. 弗洛林 (202)

第二部分

- 在第四届国际土力学及基础工程會議上的发言报告
- 探討水工建筑物稳定性的新方法 А. М. 兴科夫 (213)
 黄土类土上的灌溉建筑物的施工問題
 А. Л. 魯宾什捷英 (219)
 砂基上水工建筑物的稳定性及地基强度的研究
 П. Д. 耶夫多基莫夫 (229)
 关于振动下沉方法的几个发展方向及其在基础
 工程中的应用 ... О. А. 薩文諾夫和 А. Я. 盧斯金 (241)
 有岩石下臥层的彈性地基上基础的沉陷計算...
 Л. К. 費杜洛娃 - 洛肯別爾格 (252)
 論建筑物地基土的非綫性变形計算 Н. В. 拉萊寧 (258)

原序

目前，土力学正日益广泛地在实际中获得了运用。为了交流科学成就，以及討論土力学的重大問題，每隔4—5年，国际土力学及基础工程学会便召开国际會議。1936年在美国麻省（Массачусетс）劍桥（Кембридж）召开了第一届国际土力学會議。在这次會議的論文集中，苏联学者发表了3篇論文。1948年在荷蘭鹿特丹（Роттердам）举行的第二届會議和1953年在瑞士苏黎世（Цюрих）举行的第三屆會議，苏联学者都沒有参加。1957年8月，在倫敦召开了第四届土力学和基础工程會議。該会的組織委員會接受了苏联学者的16篇报告，刊載于“會議論文集”中。在开会前預先刊印并分发了所有的報告。这些報告归納为下述6类：I. 土的性質及其特征；II. 野外試驗和采取土样的技术；III. 建筑物的基础；IV. 道路、机场和铁路支綫；V. 建筑物和隧道上的土压力；VI. 土坝、土堤和露天基坑。

在第一类中，苏联有5篇报告。这些报告叙述了为苏联学者最新的工作所創立的土的物理、力学性方面的基本規律，主要是分散性粘土和冻土方面的基本規律。

Н.Я.捷尼索夫（Денисов）和Б.Ф.列里托夫（Рельтов）的报告指出了粘土的結構力学性質具有最大的实际意义。采用超声波设备，借助于阻尼扭轉振动方法，可以有效地研究这些性質。

为了探討粘土的流变特性，研究了粘土的持久强度〔M·Н·戈尔什傑恩（Гольщтейн）报告〕，斜坡的深层流动〔Р·И·捷爾-斯捷帕良（Тер-Степанян）的补充报告〕，以及剪切时粘土的蠕动〔А·М·斯基比茨基（Скибицкий）的补充报告〕。

在Н·А·崔托維奇（Цытович）的报告中，叙述了根据在苏联科学

院进行的詳細試驗研究所建立的有关冻结中的土、冻土和融解土的基本力学規律：（1）冻土中的水和冰的動力平衡原理；（2）冻结中的土及冻土中水份轉移的条件；（3）冻土的强度与其組成，溫度以及構造的关系；（4）应力松弛对于冻土荷載强度的影响；（5）冻土的压实条件和冻土中发生塑流的条件；（6）冻土沉落和外压力大小的关系；以及（7）土在冻结—融化交替作用下結構粘結力 的变化。这些关系是研究冰饱和冻土的流变过程得来的，它刊登在 С. С. 万洛夫（Вялов）的报告里。在他的报告里，也提出了关于冻土变形的物理实质的假說，并且还确定了冻土的应力、变形和时间的相互关系。

在Р.М. 洛米泽（Ломиз）、А.В. 涅图希爾（Нетушил）和Б.А. 尔查尼崔恩（Ржаницын）的报告里，闡明了粘土的电滲過程及电滲排水时地下水的流速場和压力場的模型計算方法^①。該報告中并列有在开挖深基坑时应用电滲方法的实例。

第二类里有В.А.杜蘭捷（Дурант）, Я.Л. 柯剛（Коган）、В.И.費尔郎斯基（Ферронский）及В.И.罗薩利（Носсаль）等五人合写的一篇报告，題目是土的密度及含水量的野外研究。報告里叙述了用深层冻结方法、測深試驗法和应用放射性的透射方法（后者就是В.И.費尔郎斯基及В.И.罗薩利的方法）测定饱和砂土含水量和密度的新方法的結果。

第三类“基础工程”里有 6 篇报告，比其他几类中的报告多一些。其中一部份报告 [Д.Е.波利申（Полшин）、Р.А.托卡尔（Токарь）、К.Е.叶戈罗夫（Егоров）、П.Г. 庫茲明（Кузьмин）以及 А.А.尼奇波羅維奇（Ничипорович）]闡明了对已建成的建筑物（民用的、工业的及高大的建筑物和水工建筑物）进行長期沉陷觀測的結果，并与理論計算的結果做了比較。对于各种类型建筑物的最大許可不均匀沉陷也做了实际总结。

Ю.М. 阿別列夫（Абелев）及В.В.阿斯卡郎諾夫（Аскалонов）

^① 根据正文中的提要譯出。原文标点有錯誤——譯者。

的報告中敘述了黃土上建築物的沉陷問題。這些黃土是借助于爆破能，用鋼筋混凝土樁和土樁來压实的。此外，在B.B. 阿斯卡郎諾夫的報告里，敘述了化學加固黃土的單液法，以及它成功地用于工程中的实例。

B.G. 別列贊采夫 (Березанцев) 和B.A. 雅羅新科 (Ярошенко) 的報告里援引了十分有趣的資料。這篇報告敘述了他們所研究的不同砌置深度基礎下緊砂和松砂的強度及變形特性的試驗結果，以及利用已有的資料來研究深基情況下確定土的極限荷載的理論方法。

D.D. 巴爾康 (Баркан) 的報告里敘述了在蘇聯應用震動法來下沉和拔出板樁、管子，填築砂樁，壓實土壤、切土和碎土的結果及其基本理論。

第四類里有H.H. 伊凡諾夫 (Иванов)、B.F. 巴布科夫 (Бабков)，A.B. 毕留利 (Бирюль) 和H.A. 普查科夫 (Пузаков) 的一篇報告。

報告敘述了柔性路面的強度理論。它是作者根據蘇聯道路研究所的豐富的試驗研究資料得出來的。

第五類里有B.B. 索科洛夫斯基 (Соколовский) 的一篇報告。報告中作者提出了關於松散介質和連結介質應力狀態理論的兩個新問題的解答。這就是：（1）穩定半弧形曲線自由邊界的繪制方法；用它就可以找到“破壞弧 (свод)”的自由邊界。（2）剛性擋土牆曲線邊界上的接觸應力的確定。用它就可以確定埋在非粘性土里具有任意橫斷面形狀的管子上的壓力。

第六類里有二篇報告：（1）C.A. 羅查 (Роза)、Д.М. 塔爾塔科夫斯基 (Тартаковский)、B.K. 列米茲尼科夫 (Ремизников) 和П.Д. 羅巴索夫 (Лобасов) 的報告，其中敘述了用拋填硬粘土的方法，建造土工建築物的物理理論和實際應用；也談到水中拋填凍土的方法。（2）H.H. 馬斯洛夫 (Маслов) 的報告，他根據特殊的試驗和所提出的滲流理論，闡明了淹沒的砂土地基和建築物的地震穩定性的問題。

最後，B.A. 弗洛林 (Флорин) 的報告敘述了作者所提出的、飽和粘土的固結理論基本問題的新解答，在解答中考慮到土骨架的蠕

动。

論文集的第二部分里有 6 篇学术报告。它們的摘要已送給第四屆国际土力學會議的組織委員會，以便放在會議論文集的第三本討論卷里。

全部報告預先都經過審查；苏联科学院土力学委員會曾研討過這些報告的主要內容。

苏联科学院土力学委員會主席

苏联科学院通訊院士

苏联建筑工程科学院院士

H.A. 崔托維奇

第一部分

刊載于“第四届国际土力学
及基础工程會議論文集”上的報告

第一类 土的性质及其特征

粘性土的弹性变形和结构变形

莫斯科古比雪夫建筑工程
学院工程地质教研室主任

H.Я.捷尼索夫教授

以B. E. 谢德涅耶夫命名的全苏水利科学研究院
院士的物理化学研究试验室主任、一级研究员

B.Ф.列里托夫

粘性土的体积变形可以分为弹性变形、结构变形和结构吸附变形三种。对于工程实践来说，结构变形具有最大的意义。在保持总稳定性的情况下，结构变形是颗粒接触点处的稳定遭到了破坏的结果。不论粘性土孔隙中有水或无水，结构变形均随时间而延续。

黄土的湿陷就是结构变形最明显的例子。达到极限压力时黄土才显出湿陷性。该极限压力是与颗粒间的胶结强度有关的。

本报告里所描述的ВНИИГ（全苏水利科学研究院）仪器，是为应用阻尼扭转振动方法。研究粘性土结构力学性质的动力学而设计的。应用这种仪器可以研究在含水量、外荷载和其他某些因素改变时，动力剪切模数的变化。

粘性土乃是一个复杂的体系，它的强度和稳定性决定于土粒之间的粘结强度。与力学里所研究的那些固体不同，粘性土具有孔隙，其大小可以用土的结构单元—颗粒和其集合体来计量。在土的自重或外荷载的压力作用下，土粒接触处发生剪应力。由于剪应力的作用，颗粒就向孔隙方面发生移动。必须指出，土的总稳定性没有受到破坏时，也会发生这种位移。结构单元接触处极限状态的一般形式，可用下述表达式来表明：

$$\tau = C_1 + C_2 \quad (1)$$

式中 τ —— 土粒接触点处的剪应力； C_1 —— 土粒接触点处的凝聚力，

决定于馮-德爾-华尔斯(Ван-дер-ваальс) 力; C_2 —土粒接触点处的凝聚力, 决定于膠結作用, 以及触变硬化①。

当接触点尚未达到极限状态的时候, 粘性土只可能有弹性变形。弹性模数和剪切模数的大小就是粘性土的定量指标。这些数值是用完全保持天然結構的土来测定的。利用地震波傳佈速度的資料, 得知粘

性土的弹性模数約为
20,000—30,000 公斤/
公分²。

动力剪切模数可以作为粘性土的結構力学性质(特别是弹性)的指标。П.И.拉查列維依(Лазаревый) 及 Б.В. 傑里亞舍內依(Дерягинский) 首先提出了用阻尼扭轉振动法来确定剪切模数的原理[1]。在以 Б.Е. 魏傑涅耶夫命名的全苏水利科学研究所(列宁格勒), 在 Б.Ф. 列里托夫領導下设计了一种确定剪切模数的仪器(图1), 并进行了如下所述的研究。

用有机玻璃制成的、直徑为 150 公厘的

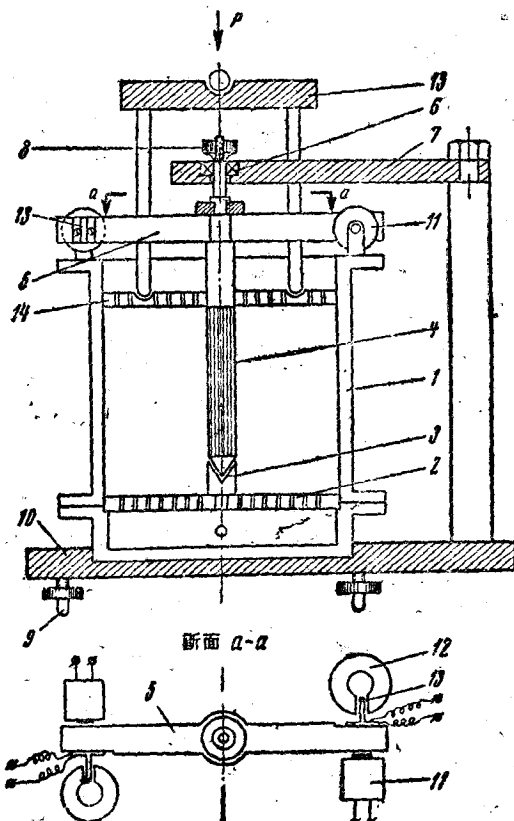


图1. 用阻尼扭轉振动法研究粘性土結構力学質的ВНИИГ室內仪器的簡圖

①触变(振动液化)是粘性土受力作用之后强度减低的一种现象。但是随着时间的发展, 由于阴阳离子和水份的相对移动, 并达到新的平衡状态, 于是强度恢复了。这种作用就是触变硬化——譯注。

圓筒1是ВНИИГ 仪器的主要部分。圓柱筒下部法蘭盤里放置有孔板2，止推軸承3被固定在有孔板的中心。当圓筒內放有試樣的時候，它是振动体系的中心支柱。

振动体系是由圓柱形的振动子軸4及裝在它上面的水平橫梁5所組成的。振动子上端用輻射狀的止推滾珠軸承6固定在托座7內，它的最上部是螺絲帽8。容器內裝滿土以後，螺絲帽可以提起振动子（十分之几或百分之几公厘），以便消除振动子和止推軸承3之間的摩擦。此时，振动子被掛在悬臂上，可以进行摩擦最小的振动。借助于安裝在底脚10上的三个調整螺絲9，可以保証振动子处于垂直的位置。

振动冲量依靠二个电磁鐵11傳給振动体系。电磁鐵对着橫梁的兩邊而安裝在容器的上法蘭上，并固定在特殊的柄上。柄可以改变它們和橫梁之間的距离。此外，在上法蘭上，裝有二个永久磁鐵12；磁极的空隙中是小感应綫圈13。綫圈固定在橫梁上，作为感应式的发送器（датчика）。

土样上面放一块有孔压板14。压板上安置托架15。利用托架，經過橫桿把所需的压力傳給土样。保証量度不变的边界条件首先是選擇适当的止推軸承高度。在这个高度时，下面有孔板的影响就消除了。其次，在土样和上部有孔板之間，还要垫以油紙。为了把振动子和土样結合得更好一些，在振动子側面的工作部分範圍內（高度为100公厘），裝有縱向凸邊。我們試驗中所采用的振动子的直徑为15和20公厘。

振动体系和振动子的工作部分在剛性連接的情况下，振动体系本身的頻率比进行土的試驗时所觀測到的振动頻率要大若干倍。因此，实际上振动体系本身的頻率并不影响測量的結果。

当扭轉振动体系时，在感应发送器中激起电流。电流通过电子放大器送給示波器的記錄板（шлейф），利用示波器就可以把阻尼振动過程記錄在照相底片上。借容电器放电，电磁鐵里就产生瞬間的电流冲击。容电器从电子整流器里充电。然后借电磁鐵的繼电器把容电器和电磁鐵連接起来。在我們的試驗中，放电週期大約是3毫秒，这比

研究土样时振动体系的周期小一些。

从照相底片上所得到的振动记录，可以确定振动子的阻尼振动周期。根据周期 T 、振动体系的惯性力矩 I ，盛土容器的半径 R 和振动子的半径 r 及其工作部份的高度 h ，就可以按下述关系来确定试样的动力剪切模数 G ：

$$G = \frac{2\pi \cdot I}{hr^2 T^2} \left(1 - \frac{r}{R} \right), \quad (2)$$

此外，根据扭转振动的开始半个周期，就可确定振动子的最大转动角 φ_{\max} （以弧度计）。 φ_{\max} 确定以后，也就可以算出振动子面上相应的剪应力值 $\tau_{\max} = G\varphi_{\max}$ 。

为了求得 φ_{\max} 值，需用试验的方法来确定仪器的某些常参数值。借这些参数，可以确定示波器上振动曲线的纵坐标和振动子的转角间的相互关系。

借助于剪切模数 G 和剪应力 τ_{\max} 之间的关系图，可以定出粘性土的弹性区、弹性塑性区以及流动状态区（图 2）。例如，可以确定弹

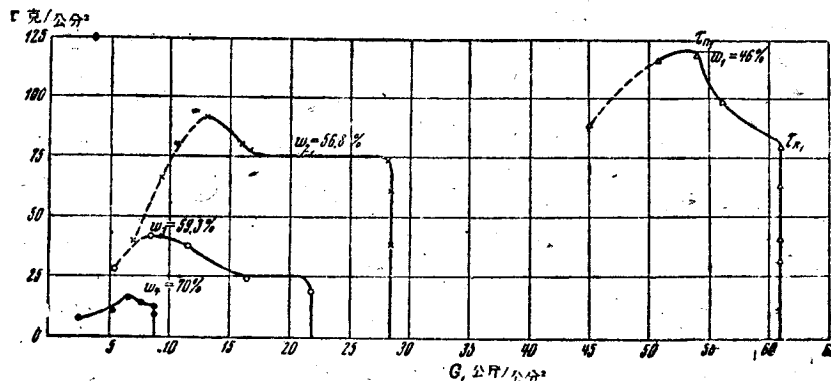


图2. 不同含水量 w 的高岭粘土，在振动开始半个周期里振动子面上的剪切模数 G 和剪应力 τ_{\max} 的关系；直线转为曲线的转折点相当于弹性极限 τ_n ，而曲线的转折点相当于塑性极限 τ_r

性极限 τ_n ，它相当于直线转为曲线的转折点；也可以确定弹性塑性状态极限 τ_r （或极限剪应力），它相当于曲线的转折点。上述极限，

如大家所知道的，是土的重要物理指标。为了繪制这一图綫 ($G-\tau$ 图)，选取了各种不同的轉角 φ_{\max} (即振动子的开始半个周期的轉角) 对所研究的土样进行了很多試驗。不同的轉角是借改变电磁铁和横梁之間的距离而得到的。因而，也改变了磁鐵吸引橫梁的力。

利用上述仪器，研究了各种因素对于某些粘土的剪切模数值的影响。曾經証明了：剪切模数在本質上决定于粘土的矿物成分和含水量。随着粘土含水量的增加，剪切模数近似地按着指数定律而減小。对于水云母粘土來說，当含水量从27增至40%的时候，剪切模数減少7/8。

与水云母粘土比較，如果含水量相同，高岭粘土的剪切模数要大一些。

已經完成的一些試驗研究同样指出：土的含水量对彈性极限 τ_x 和塑性极限 τ_n 也有影响。如图2所示，高岭粘土的試驗資料說明了这种关系。从該图中很明显地可以看出，随着含水量的增加，彈性和塑性极限剧烈地減小了。

粘性土的顆粒之間和集合体之間的粘結强度是不相同的。在天然条件下，接触点上的剪应力一般要小于由凝聚力所表現出来的强度。当出現不大的附加压力时，最初仅仅只是个别点达到极限状态。随着压力的增加，这些点形成了面，它們把应力体分成若干块，其数量随着压力的增大而增加，而小块的直徑 d_a 就相应地減小了。按照这种方式所进行的过程，可用机械散化 (механическая пептизация) ①来研究。由于散化的結果，下述条件將被滿足：

$$d_a = d_n, \quad (3)$$

(式中 d_a ——机械散化作用过程中被分开的集合体的大小， d_n ——孔隙直徑)，当滿足 (3) 式时結構变形就发生了。这种变形和固体的变形是不相同的。

当土粒和其集合体移动的时候，阻力被克服了。这种阻力就是它

① 在地質上，“пептизация”譯为胶溶作用，是指已經沉淀下来的胶体的再次溶解，这里譯为散化看來比較恰当——地質出版社編者。

們之間的相互作用力。因此，結構變形隨着時間而延續着。不僅在飽和土中它的持續性可能是相當長，而且在含水量很小的土中也是如此。這種情況可以從圖3中看出來。該圖是按照在固結儀里所進行的試驗結果繪制的。曲線1是侏羅紀粘土膏的壓實速度。該粘土的流限為65，塑限為30；曲線2是粘土粉末的壓實速度，它的含水量為2—3%。

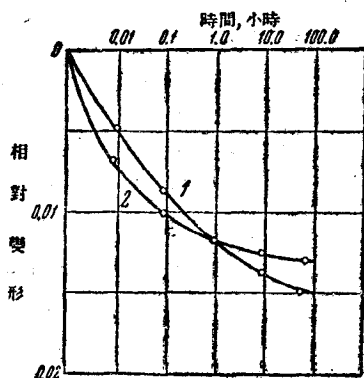


圖3. 侏羅紀粘土膏(1)和粘土
粉末(2)的壓實速度的曲線

結構變形的停止是由於土粒的集中使它們之間的凝聚力增加的結果，或者是因为條件(3)被破壞了。在第一種情況下，粘性土將發生硬化。無論是參考文獻[2]所指出的壓力增加而土的強度不見增高，或是參考文獻[3]所指出的膠結破壞時強度的降低，二者都可用條件(3)被破壞致使結構變形停止這一結果來解釋。

壓力改變時所發生的粘結水膜厚度的改變，就是結構吸附變形的原因。結構吸附變形發生的可能性和特性（膨脹和壓實），可以用接觸點上的壓力和吸附力之間的關係來確定。

我們採用總變形模數作為彈性變形、結構變形和結構吸附變形的定量指標[4]。對於不緊密的和不堅實的土來說，模數的大小不超過數十公斤/公分²（潮濕黃土）；對於密實土來說，模數的大小可達數千公斤/公分²（泥岩）。

由於上面所敘述的情況，同時滿足下述三個條件時，就可能發生結構變形。

第一，應該保證整個土體的穩定。如所周知的，它必須滿足下述條件：

$$\sigma_1 - \sigma_3 < 2C, \quad (4)$$

式中 σ_1 和 σ_3 ——最大和最小主應力； C ——土的凝聚力。

第二，應該遵守条件：

$$\tau > C_1 + C_2. \quad (5)$$

第三，还應該保証遵守条件 (3)。

如果条件 (4) 和 (5) 滿足了，而条件 (3) 沒有滿足，那么，只可能有彈性变形。

利用 ВНИИГ 仪器测定剪切模数时可以查明当外压力增加或減小时，粘性土的結構力学性質的变化。图 4 和图 5 所列出的資料証明，

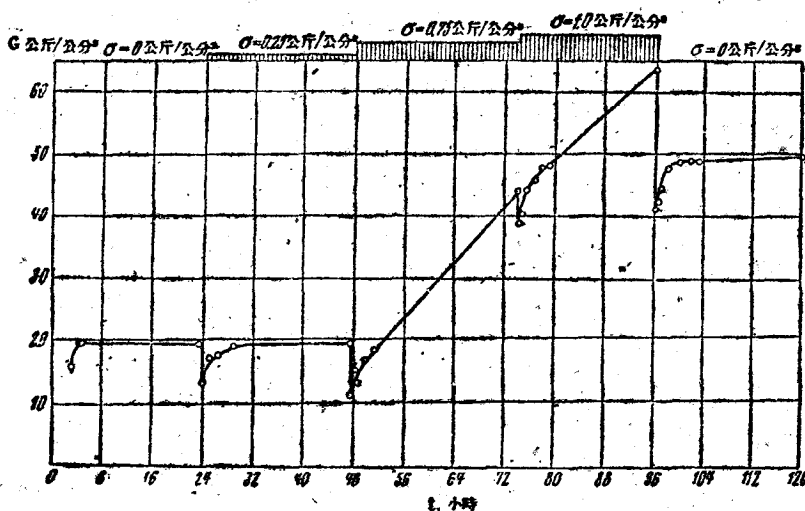


图4. 逐級加荷时，寒武紀粘土膏的剪切模数G 随时间的变化

当荷载出現时，粘土膏的剪切模数就減低；而后，又随時間而增加。剪切模数的降低，是触变特性引起的，它并使土形成凝集結構 [5]。剪切模数的随時間而增加，既可用触变过程的作用来解釋，也可以用凝聚力C 的增加来解釋。当卸荷的时候，剪切模数显著地減小是十分值得注意的現象（图 4 和图 5）。这一点就表現出粘性土和粘土膏的力学不均匀性。由于它的不均匀性，在卸荷时，邻近的土粒受到不均匀的膨胀。这就是在接触点上发生破坏应力的原因。